

ления $a_v(z)$ можно продифференцировать почленно ряд для $J_v(z)$. В результате получим

$$a_v(z) = J_v(z) \ln \frac{z}{2} - \sum_{k=0}^{\infty} \frac{(-1)^k (z/2)^{v+2k}}{k! \Gamma(k+v+1)} \psi(k+v+1),$$

где $\psi(z)$ — логарифмическая производная гамма-функции (см. Дополнение А). Так как

$$\frac{\psi(z)}{\Gamma(z)} \rightarrow (-1)^{n+1} n!, \quad z \rightarrow -n$$

(см. (27) из Дополнения А), то

$$\begin{aligned} (-1)^n a_{-n}(z) &= (-1)^n J_{-n}(z) \ln \frac{z}{2} - \\ &- (-1)^n \left\{ \sum_{k=0}^{n-1} \frac{(-1)^k (z/2)^{-n+2k}}{k!} (-1)^{n-k} (n-k-1)! + \right. \\ &\left. + \sum_{k=n}^{\infty} \frac{(-1)^k (z/2)^{-n+2k} \psi(k-n+1)}{k! \Gamma(k-n+1)} \right\} = J_n(z) \ln \frac{z}{2} - \\ &- \sum_{k=0}^{n-1} \frac{(n-k-1)!}{k!} \left(\frac{z}{2} \right)^{2k-n} - \sum_{k=0}^{\infty} \frac{(-1)^k (z/2)^{n+2k}}{k! (n+k)!} \psi(k+1). \end{aligned}$$

Поэтому

$$\begin{aligned} H_n^{(1,2)}(z) &= J_n(z) \pm \frac{i}{\pi} \left\{ 2J_n(z) \ln \frac{z}{2} - \sum_{k=0}^{n-1} \frac{(n-k-1)!}{k!} \left(\frac{z}{2} \right)^{2k-n} - \right. \\ &\left. - \sum_{k=0}^{\infty} \frac{(-1)^k (z/2)^{n+2k}}{k! (n+k)!} [\psi(n+k+1) + \psi(k+1)] \right\}. \quad (14) \end{aligned}$$

При $n=0$ первую сумму следует считать равной нулю. Значения $\psi(x)$ при целых x можно вычислять по формуле (16) из Дополнения А.

Как следует из (11), (14), функции $H_v^{(1,2)}(z)$ при $z=0$ имеют степенную особенность вида $z^{\pm v}$, если $\operatorname{Re} v \neq 0$, и логарифмическую особенность, если $v=0$.

§ 16. Интегральное представление Зоммерфельда

1. Интегральное представление Зоммерфельда для цилиндрических функций. При изучении свойств решений уравнения Бесселя для функций $J_v(z)$, $H_v^{(1,2)}(z)$ оказались удобными интегральные представления Пуассона.

Для цилиндрических функций можно получить также интегральное представление другого вида, удобное, например, для решения задач дифракции. Для вывода этого представления восполь-

зумеся следующими соображениями. В § 14 было показано, что

$$u_n(z) = \frac{1}{2\pi} \int_{-\pi}^{\pi} v(r, \varphi) e^{-in\varphi} d\varphi$$

при $z = \sqrt{\lambda} r$ является цилиндрической функцией порядка n , если функция v удовлетворяет уравнению $\Delta v + \lambda v = 0$. Простейшим решением уравнения $\Delta v + \lambda v = 0$ при $\lambda = k^2 > 0$ является плоская волна $v = e^{ikr}$, где k — волновой вектор. Если направить ось y по направлению волнового вектора k , то

$$v(r, \varphi) = \exp \{ikr \sin \varphi\}.$$

В результате приходим к следующему интегральному представлению для цилиндрической функции $u_n(z)$:

$$u_n(z) = \frac{1}{2\pi} \int_{-\pi}^{\pi} \exp \{iz \sin \varphi - in\varphi\} d\varphi. \quad (1)$$

Аналогичные интегральные представления можно получить для цилиндрических функций произвольного порядка v . Для получения их естественно искать решение уравнения Бесселя при любых v в виде контурного интеграла

$$u_v(z) = \int_C \exp \{iz \sin \varphi - iv\varphi\} d\varphi.$$

Покажем, что при определенном выборе контура C функция $u_v(z)$ будет удовлетворять уравнению Бесселя. Для доказательства, так же как и при выводе (1), будем исходить из того, что $v(r, \varphi) = \exp \{ikr \sin \varphi\}$ — решение уравнения Гельмгольца

$$\frac{1}{r} \frac{\partial}{\partial r} \left(r \frac{\partial v}{\partial r} \right) + \frac{1}{r^2} \frac{\partial^2 v}{\partial \varphi^2} + k^2 v = 0. \quad (2)$$

Легко проверить, что (2) справедливо при любых комплексных значениях r, φ .

Получим уравнение для функции $v_v(r) = \int_C v(r, \varphi) e^{-iv\varphi} d\varphi$ с помощью (2), интегрируя обе части этого уравнения по контуру C с весом $e^{-iv\varphi}$ и упрощая член, содержащий $\partial^2 v / \partial \varphi^2$, с помощью двукратного интегрирования по частям. Если потребовать, чтобы возникающая при этом подстановка

$$e^{-iv\varphi} \left(\frac{\partial v}{\partial \varphi} + ivv \right) \Big|_{\varphi_1}^{\varphi_2} = i \exp \{ikr \sin \varphi - iv\varphi\} (kr \cos \varphi + v) \Big|_{\varphi_1}^{\varphi_2}$$

(φ_1, φ_2 — концы контура C) была равна нулю, то мы придем к уравнению Бесселя для $u_v(z) = v_v(r)$ при $z = kr$.

Таким образом, мы показали, что функция

$$u_v(z) = \int_C \exp \{iz \sin \varphi - iv\varphi\} d\varphi \quad (3)$$

действительно является решением уравнения Бесселя при выполнении условия

$$\exp\{iz \sin \varphi - iv\varphi\} (z \cos \varphi + v) \Big|_{\varphi_1}^{\varphi_2} = 0. \quad (4)$$

Так как $\cos \varphi = (e^{i\varphi} + e^{-i\varphi})/2$, то условие (4) будет, очевидно, выполнено, если при любом значении v

$$\exp\{iz \sin \varphi - iv\varphi\}|_{\varphi=\varphi_1, \varphi_2} = 0. \quad (5)$$

Представления вида (3) называются *представлениями Зоммерфельда*.

2. Интегральные представления Зоммерфельда для функций Ханкеля и функций Бесселя первого рода. В качестве контура C в интегральном представлении для $u_v(z)$ можно выбрать, например, контур, концы которого уходят в бесконечность таким образом, что

$$\operatorname{Re}(iz \sin \varphi - iv\varphi) = \operatorname{Re}\left[\frac{1}{2}|z|e^{i\theta}(e^{i\varphi} - e^{-i\varphi}) - iv\varphi\right] \rightarrow -\infty, \varphi \rightarrow \infty, \quad (6)$$

где $\theta = \arg z$.

Рассмотрим контур C , изображенный на рис. 7 ($\varphi = \chi + i\psi$). Выясним, каким требованиям должны удовлетворять α, β , чтобы условия на концах контура были выполнены.

Пусть $\chi = \alpha$, $\psi \rightarrow +\infty$. В этом случае в (6) можно пренебречь величинами φ и $e^{i\varphi}$ по сравнению с $e^{-i\varphi}$. Условие на контур принимает вид

$$\operatorname{Re} e^{i(\theta-\varphi)} \rightarrow +\infty, \psi \rightarrow +\infty.$$

Оно выполнено, если $\cos(\theta - \alpha) > 0$. Можно выбрать α из условия

$$\theta - \pi/2 < \alpha < \theta + \pi/2. \quad (7)$$

Пусть теперь $\chi = \beta$, $\psi \rightarrow -\infty$. В этом случае достаточно потребовать выполнения неравенства $\cos(\theta + \beta) < 0$, что возможно при $\beta = -\alpha \pm \pi$. Соответствующие контуры обозначим через C_+ , C_- .

Отметим следующий произвол в выборе контуров. Пусть контур C' определяется заданием α', β' , удовлетворяющих условиям $\cos(\theta - \alpha') > 0$, $\cos(\theta + \beta') < 0$. Если воспользоваться теоремой Коши, то нетрудно показать, что контур C' можно заменить на любой другой контур C'' , определяемый заданием чисел α'', β'' , если для всех значений $\alpha \in [\alpha', \alpha'']$, $\beta \in [\beta', \beta'']$ выполняются неравенства $\cos(\theta - \alpha) > 0$, $\cos(\theta + \beta) < 0$. Из этих соображений ясно, в частности, что в представлении Зоммерфельда контур C можно заменить таким контуром, чтобы его сдвиг на величину, меньшую π , не менял значения интеграла Зоммерфельда.

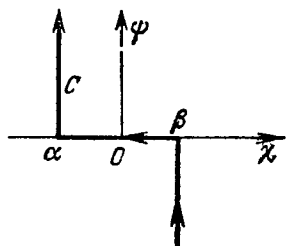


Рис. 7.

Так как $u_v(z)$ удовлетворяет уравнению Бесселя, то

$$u_v(z) = C_v H_v^{(1)}(z) + D_v H_v^{(2)}(z). \quad (8)$$

Найдем коэффициенты C_v , D_v , используя известное нам асимптотическое поведение функций $H_v^{(1,2)}(z)$. Рассмотрим сначала случай, когда в качестве C выбран контур C_+ . Пусть $|z| \rightarrow \infty$, $\arg z = \pi/2$. Тогда можно выбрать $\alpha = \beta = \pi/2$, т. е. в выражении для $u_v(z)$ положить $\varphi = \pi/2 + i\psi$, где $-\infty < \psi < \infty$, что дает

$$u_v(z) = ie^{-i\pi v/2} \int_{-\infty}^{\infty} e^{-|z| \operatorname{ch} \psi} e^{v\psi} d\psi = 2ie^{-i\pi v/2} \int_0^{\infty} e^{-|z| \operatorname{ch} \psi} \operatorname{ch} v\psi d\psi.$$

Для выяснения асимптотического поведения функции $u_v(z)$ при $z \rightarrow \infty$ можно воспользоваться леммой Ватсона (см. Дополнение Б), если предварительно произвести замену $\operatorname{ch} \psi = 1 + t$. Действительно, при такой замене мы получаем

$$u_v(z) = 2i \exp \left\{ -\frac{i\pi v}{2} - |z| \right\} \int_0^{\infty} e^{-|z|t} f(t) dt,$$

где

$$f(t) = \frac{1}{\sqrt{t(2+t)}} \operatorname{ch} [v \ln(1+t + \sqrt{t(2+t)})].$$

Так как $f(t) = \frac{1}{\sqrt{2t}} [1 + O(t)]$ при $t \rightarrow 0$, то по лемме Ватсона при $z \rightarrow \infty$ имеем

$$\begin{aligned} u_v(z) &= 2i \frac{\Gamma(1/2)}{\sqrt{2|z|}} \exp \left\{ -i \frac{\pi v}{2} - |z| \right\} \left[1 + O\left(\frac{1}{z}\right) \right] = \\ &= i \sqrt{\frac{2\pi}{|z|}} \exp \left\{ -i \frac{\pi v}{2} - |z| \right\} \left[1 + O\left(\frac{1}{z}\right) \right]. \end{aligned}$$

Сравнение главных членов асимптотики левой и правой частей в (8) дает $D_v = 0$, $C_v = -\pi$. Таким образом,

$$H_v^{(1)}(z) = -\frac{1}{\pi} \int_{C_+} \exp \{iz \sin \varphi - iv\varphi\} d\varphi. \quad (9)$$

Аналогично, для контура C_- получим

$$H_v^{(2)}(z) = \frac{1}{\pi} \int_{C_-} \exp \{iz \sin \varphi - iv\varphi\} d\varphi. \quad (10)$$

Отсюда

$$J_v(z) = \frac{1}{2} [H_v^{(1)}(z) + H_v^{(2)}(z)] = \frac{1}{2\pi} \int_{C_1} \exp \{iz \sin \varphi - iv\varphi\} d\varphi, \quad (11)$$

где контур C_1 изображен на рис. 8. При $v = n$ в силу периодич-

ности подынтегральной функции интегрирование по контуру C_1 сводится к интегрированию по интервалу $(-\alpha - \pi, -\alpha + \pi)$. Так как интеграл от периодической функции по отрезку, длина которого равна периоду, не зависит от положения этого отрезка, то

$$J_n(z) = \frac{1}{2\pi} \int_{-\pi}^{\pi} \exp\{iz \sin \varphi - in\varphi\} d\varphi, \quad (11a)$$

т. е. $J_n(z)$ — коэффициент разложения функции $e^{iz \sin \varphi}$ в ряд Фурье по функциям $e^{in\varphi}$. Поэтому

$$e^{iz \sin \varphi} = \sum_{n=-\infty}^{\infty} J_n(z) e^{in\varphi}. \quad (12)$$

Пользуясь принципом аналитического продолжения, можно показать, что (12) справедливо при любых комплексных значениях φ .

Интегральное представление (11a) можно упростить, если воспользоваться формулой

$$\exp\{iz \sin \varphi - in\varphi\} = \cos(z \sin \varphi - n\varphi) + i \sin(z \sin \varphi - n\varphi)$$

и свойствами четности по переменной φ функций $\cos(z \sin \varphi - n\varphi)$ и $\sin(z \sin \varphi - n\varphi)$. В результате для функции $J_n(z)$ мы получаем интегральное представление Сонина — Бесселя:

$$J_n(z) = \frac{1}{\pi} \int_0^{\pi} \cos(z \sin \varphi - n\varphi) d\varphi.$$

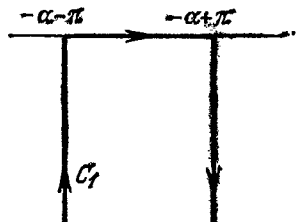


Рис. 8.

§ 17. Специальные классы цилиндрических функций

1. Функции Бесселя второго рода. В прикладных расчетах часто приходится иметь дело с решениями уравнения Бесселя при вещественных значениях v и положительных значениях z . Пользоваться при этом функциями Ханкеля не всегда удобно, так как они принимают комплексные значения. В рассматриваемом случае $H_v^{(2)}(z) = \overline{H_v^{(1)}(z)}$ (черта — знак комплексного сопряжения) и

$$J_v(z) = \frac{1}{2} [H_v^{(1)}(z) + H_v^{(2)}(z)] = \operatorname{Re} H_v^{(1)}(z).$$

В связи с этим естественно в качестве второго линейно независимого вещественного решения уравнения Бесселя рассматривать $\operatorname{Im} H_v^{(1)}(z)$, т. е. функцию

$$Y_v(z) = \frac{1}{2i} [H_v^{(1)}(z) - H_v^{(2)}(z)]. \quad (1)$$

Функция $Y_v(z)$ называется функцией Бесселя второго рода *).

*). Иногда ее называют функцией Вебера, а также функцией Неймана и обозначают $N_v(z)$. Заметим, что функции Ханкеля называют также функциями Бесселя третьего рода.